

MEFPY

June 28, 2020

1 Método dos Elementos Finitos

Universidade Federal Fluminense

Disciplina ministrada pelo Prof. Marco Ferro

marco.ferro@uol.com.br

Anotações do Aluno Noé de Lima

noe_lima@id.uff.br

Primeiro semestre de 2020

Esta célula serve para apresentar as equações SageMath no formato \LaTeX e configurar bibliotecas

```
[1]: %display latex
from numpy import array, linspace, zeros
from scipy.interpolate import interp1d
from scipy.linalg import solve
from sage.misc.latex import MathJax, latex_extra_preamble, png
latex.add_to_preamble('\usepackage[english,brazil]{babel}')
!uname -a
```

Linux DESKTOP-ORNGOTO 4.19.104-microsoft-standard #1 SMP Wed Feb 19 06:37:35 UTC
2020 x86_64 x86_64 x86_64 GNU/Linux

Contents

1	Método dos Elementos Finitos	1
2	Introdução	3
2.1	Histórico	3
3	Método Numéricos	3
3.1	Exemplo	3
3.1.1	Vetor x (Definição do Domínio)	5
3.2	MRP - Método dos Resíduos Ponderados	5
3.2.1	Analogia	5
3.3	Subdomínio (MVF - Método dos Volumes Finitos)	5
3.3.1	Função de Ponderação	5
3.3.2	Exemplo	6
3.3.3	Implementação do Subdomínio	7
3.4	Galerkin	8
3.4.1	Exemplo	8
3.5	Rayleigh-Ritz	10
3.5.1	Implementação do Método de Rayleigh-Ritz	11
4	MEF - Método dos Elementos Finitos	12
4.0.1	Matriz de Rigidez e Matriz de Força (ou Carregamento) Nodal	13
4.1	MEF com 1 Elemento	14
4.2	MEF com 2 Elementos	16
4.3	MEF com 3 Elementos	16
4.4	MEF com n Elementos	18
4.5	Implementação do MEF com n Elementos	18
5	Comparação das Soluções	19
6	PTV - Princípio dos Trabalhos Virtuais	20
6.1	Incremento do Trabalho Interno (Energia de Deformação)	21
6.2	Incremento do Trabalho Externo	21
7	PDV - Princípio dos Deslocamentos Virtuais	22
8	Energia Potencial Total do Sistema	22
9	Princípio da Energia Potencial Total Mínima	23
9.1	Exemplo	23
9.1.1	Solução	23

2 Introdução

2.1 Histórico

- Início na década de 50 pelos engenheiros aeronáuticos Turner, Argyris e Associados
- Análise Matricial de Estruturas, PTV
- Anos 60, MEF entendido como um caso particular do Método de Rayleigh-Ritz, logo idealizado a partir de funcionais. Logo o MEF pôde ser aplicado a problemas de fluidos, meios porosos, termodinâmica, eletromagnetismo, dentre outros.
- No final dos anos 60, foi comprovado que o MEF pode também ser considerado como um caso particular do Método de Galerkin, dispensando a necessidade de um funcional.
- Nos anos 70 o MEF foi identificado como um caso particular do MRP - Método dos Resíduos Ponderados. Expansão do MEF com computadores mais modernos e o advento de linguagens de baixo nível (FORTRAN e BASIC). O FORTRAN foi criado no meio da década de 1950, mas começou a crescer com o FORTRAN IV (1962), tendo um grande avanço com o FORTRAN 77.
- Nos anos 80 houve a disponibilidade e a explosão dos “microcomputadores” e vários grupos de pesquisa e desenvolvimento do MEF foram criados ao redor do planeta.
- Dos anos 90 até os dias atuais, vários programas comerciais foram disponibilizados, alguns considerando pré e pós processamento e a computação paralela.
- Para o dimensionamento de estruturas, no Brasil, os mais usados são o TQS e o EBERICK.
- Além disso, diversas linguagens são usadas para programação do MEF, como FORTRAN, C++, Matlab, dentre outras e, mais recentemente, Python.

3 Método Numéricos

(FAZER DIAGRAMA E INCLUIR AQUI)

Segue abaixo a importação das bibliotecas que serão utilizadas.

3.1 Exemplo

Considere a seguinte equação diferencial e suas condições de contorno:

$$\begin{cases} \frac{d^2 u}{dx^2} - u = 0; & 0 \leq x \leq 1 \\ u(0) = 0 & u(1) = 1 \end{cases} \quad (1)$$

O código em SageMath a seguir coloca esta equação em uma variável:

```
[2]: (x) = var('x') # Cria a variável independente x
u = function('u')(x) # Cria a variável dependente u(x)
eqn = diff(u,x,2) - u == 0; # Equação Diferencial  $\frac{d^2 u}{dx^2} - u = 0$ 
```

```
[3]: html(MathJax().eval(latex(eqn))) # Mostra a equação inline
```

```
[3]: <html><script type="math/tex;
mode=display">\newcommand{\Bold}[1]{\mathbf{#1}}-u\left(x\right) +
\frac{\partial^2}{\partial x^2}u\left(x\right) = 0</script></html>
```

O código a seguir encontra a solução analítica:

```
[4]: analitc = desolve(eqn,u,[0,0,1,1]).full_simplify() # Resolve a equação para a
      ↪ variável u(x), passando pelos pontos (0,0) e (1,1), e simplifica
```

```
[5]: html(MathJax().eval(latex(analitc))) # Apresenta a solução inline
```

```
[5]: <html><script type="math/tex;
      mode=display">\newcommand{\Bold}[1]{\mathbf{#1}}-\frac{\left(e - e^{\left(2 \,
      x + 1\right)\right)\right)}{e^{-\left(-x\right)}}\{e^{\{2\} - 1}\}</script></html>
```

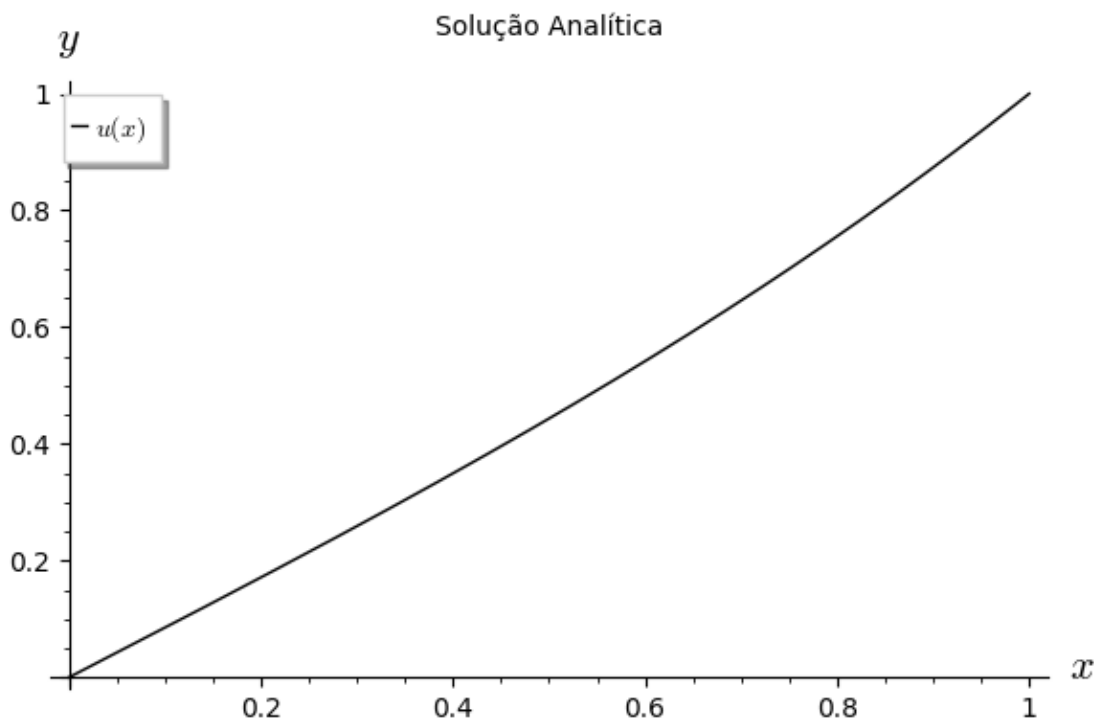
Rearrmando, a solução pode ser reescrita na forma:

$$u(x) = \frac{e^x - e^{-x}}{e - e^{-1}} \quad (2)$$

Este exemplo será utilizado nas seções a seguir.

Abaixo, temos o gráfico desta solução dentro do domínio $0 \leq x \leq 1$.

```
[6]: exata =
      ↪ plot(analitc,(x,0,1),color='black',legend_label='$u(x)$',axes_labels=['$x$',
      ↪ '$y$'],title='Solução Analítica') # Plota a solução u(x) no intervalo (0 < x
      ↪ < 1)
      exata.show()
```



3.1.1 Vetor x (Definição do Domínio)

Este código define o domínio x para o exemplo, e será utilizado como entrada nos demais códigos. Neste exemplo, o domínio é $0 \leq x \leq 1$, discretizado em intervalos de 0,1.

[7]: `xd = linspace(0.,1.,11)`

3.2 MRP - Método dos Resíduos Ponderados

Considere uma equação diferencial em $u(x)$ como mostrado a seguir, e suas condições de contorno.

$$\begin{cases} L[u(x)] = f(x); & a \leq x \leq b \\ u(a) = u_a; & u(b) = u_b \end{cases} \quad (3)$$

(1)

A solução aproximada de $u(x)$ é $\bar{u}(x)$ e possui a seguinte forma:

$$\bar{u}(x) = \phi_0(x) + \sum_{i=1}^n a_i \phi_i(x) \quad (4)$$

Onde ϕ_i são as funções de aproximação (a princípio arbitrárias) e a_i são coeficientes.

Substituindo \bar{u} em (1), tem-se:

$$L[\bar{u}(x)] - f(x) = R \quad (5)$$

Onde R é denominado Resíduo.

O MRP consiste em ponderar o Resíduo, de modo que a integral ao longo do domínio seja nula. Logo,

$$\int_D W_i R dv = 0 \quad (6)$$

(SRP - Sentença de Resíduos Ponderados)

Sendo,

- $W_i \rightarrow$ as funções de ponderação;
- $D \rightarrow$ o domínio e;
- $dv \rightarrow$ os diferenciais relativos ao domínio considerado.

3.2.1 Analogia

É como se houvesse uma compensação de áreas situadas entre y e \bar{y} , com ponderação.

(INCLUIR GRÁFICO)

3.3 Subdomínio (MVF - Método dos Volumes Finitos)

3.3.1 Função de Ponderação

$$W_i(x) = \begin{cases} 1 & x \in D \\ 0 & x \notin D \end{cases} \quad (7)$$

3.3.2 Exemplo

Considere a seguinte equação diferencial e suas condições de contorno para a qual obtivemos a Solução Exata.

$$\begin{cases} \frac{d^2 u}{dx^2} - u = 0; & 0 \leq x \leq 1 \\ u(0) = 0 & u(1) = 1 \end{cases}$$

A função de aproximação escolhida por simplicidade é um polinômio da forma x^i . Logo,

$$\bar{u}(x) = \sum_{i=0}^{n+1} C_i x^i \quad (8)$$

Para que as condições de contorno sejam atendidas, temos:

$$\bar{u}(0) = \sum_{i=0}^{n+1} C_i 0^i = 0 = \sum_{i=0}^{n+1} C_i 0^i$$

Mas,

$$0^i = \begin{cases} 1 & i = 0 \\ 0 & i \neq 0 \end{cases}$$

Logo,

$$\sum_{i=0}^{n+1} C_i 0^i = C_0 0^0 + \sum_{i=1}^{n+1} C_i 0^i = C_0 + \sum_{i=1}^{n+1} C_i 0 = 0 \therefore C_0 = 0$$

Bem como,

$$\bar{u}(1) = 1 \rightarrow \sum_{i=1}^{n+1} C_i 1^i = \sum_{i=1}^{n+1} C_i 1 = 1 \therefore \sum_{i=1}^{n+1} C_i = 1$$

Logo,

$$\bar{u}(x) = \sum_{i=1}^{n+1} C_i x^i$$

Utilizando $n = 1$,

$$\bar{u}(x) = C_1 x + C_2 x^2$$

Com $C_1 + C_2 = 1$.

Assim, tem-se:

$$R = \frac{d^2 \bar{u}}{dx^2} - \bar{u} = 2C_2 - C_1 x - C_2 x^2$$

Utilizando o fator de ponderação $W_i = 1$, tem-se:

$$\int_0^1 1 [2C_2 - C_1x - C_2x^2] dx = \left[2C_2x - C_1\frac{x^2}{2} - C_2\frac{x^3}{3} \right]_0^1 = 2C_2 - \frac{C_1}{2} - \frac{C_2}{3} = 0$$

$$\begin{cases} -\frac{1}{2}C_1 + \frac{5}{3}C_2 &= 0 \\ C_1 + C_2 &= 1 \end{cases}$$

A solução deste sistema é:

$$\begin{cases} C_1 &= \frac{10}{13} \\ C_2 &= \frac{3}{13} \end{cases}$$

Logo, tem-se

$$\bar{u}(x) = \frac{10}{13}x + \frac{3}{13}x^2$$

Somando-se e subtraindo-se $\frac{3}{13}x$, obtém-se

$$\bar{u}(x) = x + \frac{3}{13}(x^2 - x) \quad (9)$$

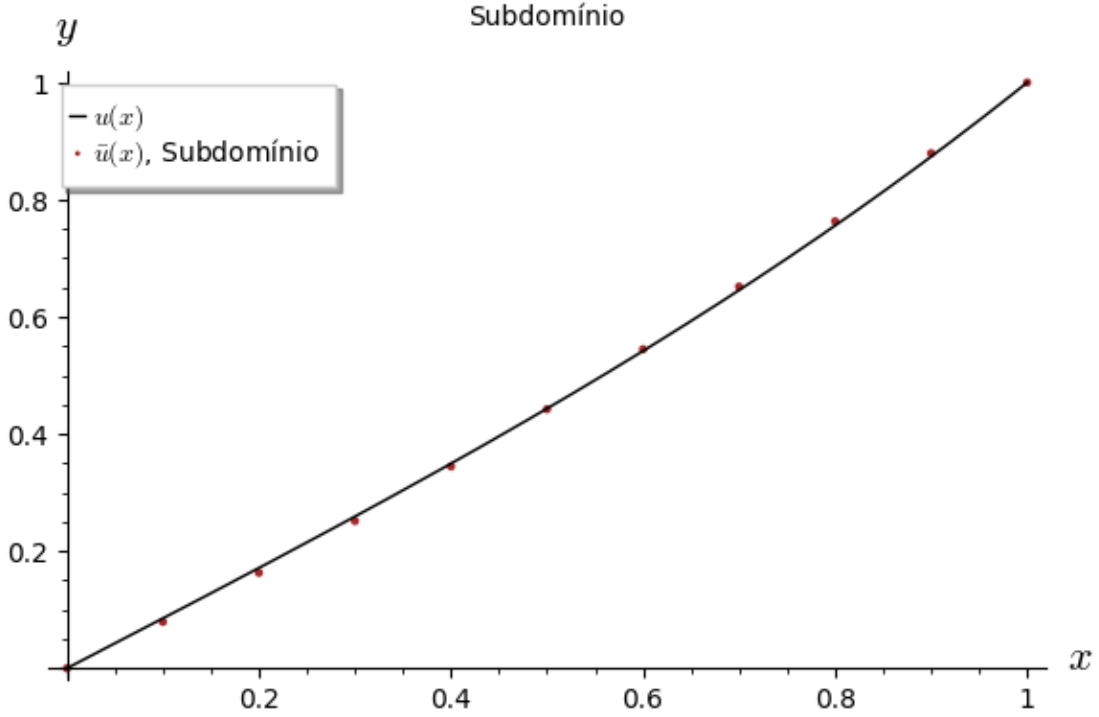
3.3.3 Implementação do Subdomínio

Abaixo, temos a implementação do MVF e o gráfico comparando com a solução exata.

```
[8]: def ysubdominio(x):
      return x+3/13*x*(x-1)

[9]: subdominio = points(zip(xd,ysubdominio(xd)),legend_label='$\\bar{u}(x)$',
      ↪Subdomínio',color='brown',axes_labels=['$x$', '$y$'],title='Subdomínio') #
      ↪Plota a solução u(x) no intervalo (0 < x < 1)
      exata + subdominio
```

[9]:



3.4 Galerkin

No Método de Galerkin, a Função de Ponderação é igual a Função de Aproximação. Logo,

$$W_i(x) = \phi_i(x) \quad (i = 1, 2, 3, \dots, n) \quad (10)$$

E a SRP - Sentença de Resíduos Ponderados, torna-se:

$$\int_D \phi_i R dv = 0 \quad (11)$$

3.4.1 Exemplo

Considere a mesma equação diferencial e as mesmas condições de contorno do exemplo anterior.

$$\begin{cases} \frac{d^2 u}{dx^2} - u = 0; & 0 \leq x \leq 1 \\ u(0) = 0 & u(1) = 1 \end{cases}$$

Adota-se $W_i(x) = \phi_i(x) = x(x-1)$, com $n = 1$.

A SRP torna-se

$$\int_0^1 W_i R dx = \int_0^1 W_i \left(\frac{d^2 \bar{u}}{dx^2} - \bar{u} \right) dx =$$

$$\left[W_i \frac{d\bar{u}}{dx} \right]_0^1 - \int_0^1 \left(\frac{dW_i}{dx} \frac{d\bar{u}}{dx} \right) dx - \int_0^1 W_i \bar{u} dx = 0$$

Lembrando que o resultado acima sai a partir da integração por partes, onde,

$$\int u dv = uv - \int v du \quad (12)$$

E, portanto,

$$\int W_i \frac{d^2 \bar{u}}{dx^2} dx = \left[W_i \frac{d\bar{u}}{dx} \right] - \int \left(\frac{dW_i}{dx} \frac{d\bar{u}}{dx} \right) dx$$

Porém,

$$\left[W_i \frac{d\bar{u}}{dx} \right]_0^1 = 0$$

Pois $W = x(x-1) = 0$ para $x = 0$ e $x = 1$. Logo,

$$\begin{aligned} & - \int_0^1 \left(\frac{d\phi_i}{dx} \frac{d\bar{u}}{dx} \right) dx - \int_0^1 \phi_i \bar{u} dx = 0 \\ & - \int_0^1 (2x-1) (C_1 + 2C_2 x) dx - \int_0^1 (x^2 - x) (C_1 x + C_2 x^2) dx = 0 \\ & \int_0^1 (2C_1 x + 4C_2 x^2 - C_1 - 2C_2 x) dx + \\ & \int_0^1 (C_1 x^3 + C_2 x^4 - C_1 x^2 - C_2 x^3) dx = 0 \\ & \left[\frac{2}{2} C_1 x^2 + \frac{4}{3} C_2 x^3 - C_1 x - \frac{2}{2} C_2 x^2 \right]_0^1 + \\ & \left[\frac{1}{4} C_1 x^4 + \frac{1}{5} C_2 x^5 - \frac{1}{3} C_1 x^3 - \frac{1}{4} C_2 x^4 \right]_0^1 = 0 \end{aligned}$$

Logo, simplificando,

$$\begin{aligned} & C_1 + \frac{4}{3} C_2 - C_1 - C_2 + \frac{1}{4} C_1 + \frac{1}{5} C_2 - \frac{1}{3} C_1 - \frac{1}{4} C_2 = \\ & \left(\frac{1}{4} - \frac{1}{3} \right) C_1 + \left(\frac{4}{3} - 1 + \frac{1}{5} - \frac{1}{4} \right) C_2 = 0 \\ & \left(\frac{3-4}{12} \right) C_1 + \left(\frac{80-60+12-15}{60} \right) C_2 = 0 \\ & -\frac{1}{12} C_1 \left(\frac{5}{5} \right) + \frac{17}{60} C_2 = 0 \end{aligned}$$

Portanto,

$$\begin{bmatrix} -5C_1 & + & 17C_2 & = & 0 \\ C_1 & + & C_2 & = & 0 \end{bmatrix}$$

A solução desse sistema é:

$$\begin{bmatrix} C_1 & = & \frac{17}{22} \\ C_2 & = & \frac{5}{22} \end{bmatrix}$$

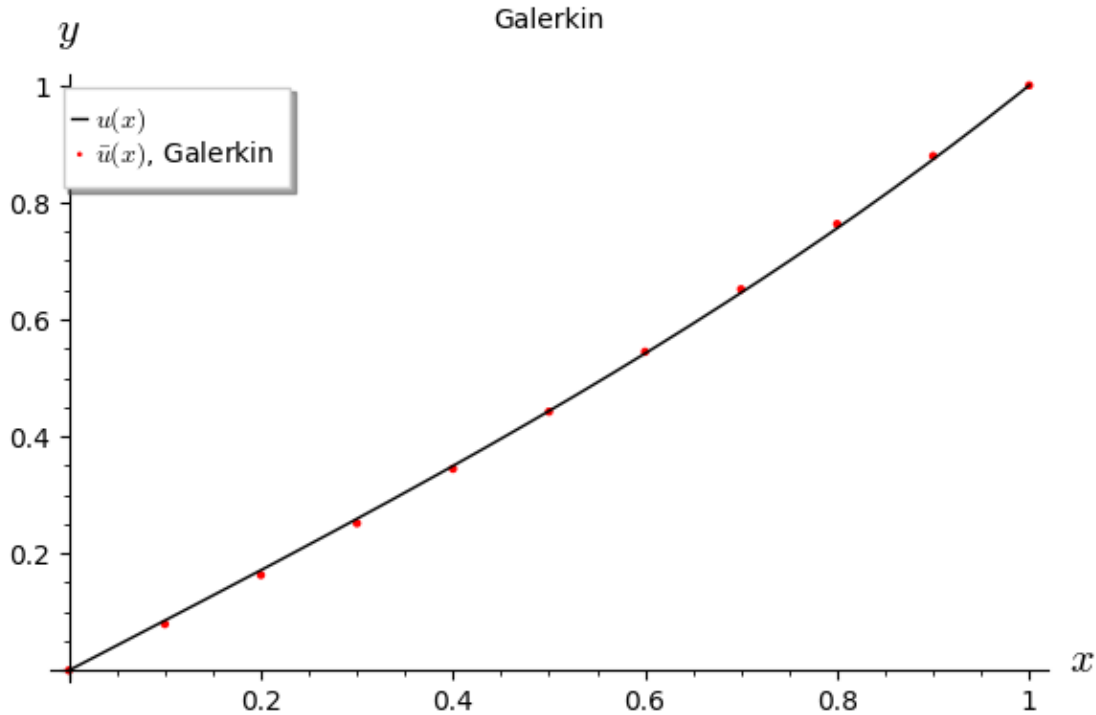
Assim,

$$\bar{u}(x) = x + \frac{5}{22} x(x-1) \quad (13)$$

```
[10]: def ygalarkin(x):
       return x+5/22*x*(x-1)
```

```
[11]: galerkin = points(zip(xd,ysubdominio(xd)),legend_label='$\\bar{u}(x)$',
↳ Galerkin',color='red',axes_labels=['$x$', '$y$'],title='Galerkin') # Plota a
↳ solução u(x) no intervalo (0 < x < 1)
exata + galerkin
```

[11]:



3.5 Rayleigh-Ritz

É utilizado quando existe um Funcinoal equivalente à uma equação diferencial.

- PTV - Princípio dos Trabalhos Virtuais
- EPM - Energia Potencial Mínima

Considere $\Pi(u)$ o funcional equivalente à equação diferencial

$$\frac{d^2 u}{dx^2} - u = 0$$

O MRR - Método de Rayleigh-Ritz considera que a solução aproximada $\bar{u}(x)$ é uma combinação linear de funções de aproximação $\phi_i(x)$, ou seja,

$$\bar{u}(x) = \sum_{i=1}^n a_i \phi_i(x) \quad (14)$$

Sendo $a_i, (i = 1, 2, \dots, n)$ coeficientes arbitrários e $\phi_i(x)$ devem ser escolhidos para atenderem as condições de contorno:

$$\begin{cases} \sum_{i=1}^n a_i \phi_i(a) = u_a \\ \sum_{i=1}^n a_i \phi_i(b) = u_b \end{cases}$$

A solução aproximada \bar{y} deve tornar o Funcional ``estacionário'' em relação às constantes a_i , ou seja, nulo. Logo,

$$\frac{\partial \Pi}{\partial a_i} = 0; \quad (i = 1, 2, \dots, n)$$

O Funcional Π da equação diferencial $\frac{d^2 u}{dx^2} - u = 0$ vale

$$\Pi(u) = \int_0^1 \left[\frac{1}{2} \left(\frac{du}{dx} \right)^2 + \frac{1}{2} u^2 \right] dx$$

Supondo $\bar{u} = x + ax(x+1)$,

$$\begin{aligned} \Pi(\bar{u}) &= \int_0^1 \left[\frac{1}{2} (1 + a(2x-1))^2 + \frac{1}{2} (x + a(x^2-x))^2 \right] dx \\ \Pi(\bar{u}) &= \frac{2}{3} - \frac{a}{12} + \frac{a^2}{3} \end{aligned}$$

Como

$$\frac{\partial \Pi(\bar{u})}{\partial a} = 0 \therefore -\frac{1}{12} + \frac{2}{3}a = 0$$

$$a = \frac{1}{8}$$

Portanto,

$$\bar{u}(x) = x + \frac{1}{8}x(x-1) \tag{15}$$

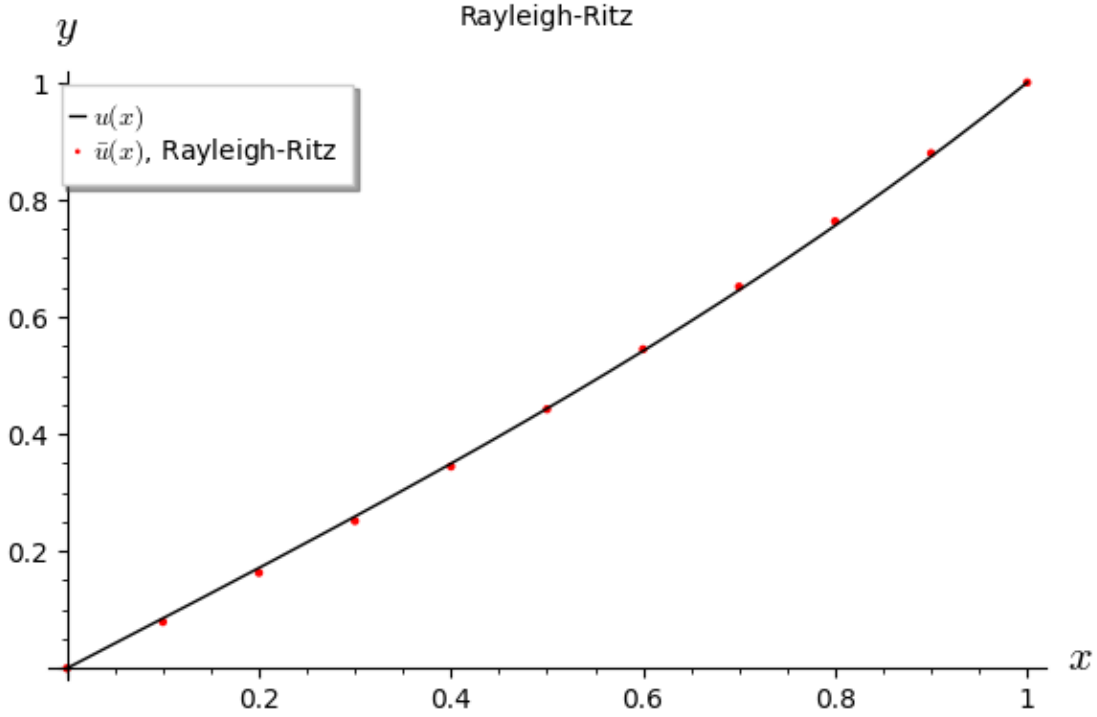
3.5.1 Implementação do Método de Rayleigh-Ritz

A seguir, a implementação do Método de Rayleigh-Ritz, bem como o gráfico de comparação com a solução exata.

```
[12]: def yRR (x):
      return x+1/8*x*(x-1)
```

```
[13]: RR = points(zip(xd,ysubdominio(xd)),legend_label='$\bar{u}(x)$',
↳Rayleigh-Ritz',color='red',axes_labels=['$x$', '$y$'],title='Rayleigh-Ritz')
↳# Plota a solução u(x) no intervalo (0 < x < 1)
exata + RR
```

```
[13]:
```



4 MEF - Método dos Elementos Finitos

O Método dos Elementos Finitos pode ser entendido como derivado do Método de Galerkin, onde, na SRP (Sentença de Resíduos Ponderados), $W_i = \phi_i$, considera-se o domínio $1 - D$ (unidimensional) dividido em segmentos ou elementos, sendo os seus pontos extremos denominados nós.

(INSERIR IMAGEM)

Tem-se que:

$$\bar{u} = \sum_{i=1}^{n+1} u_i N_i(x) \quad (16)$$

No segmento e , temos:

$$h_e = x_e^{(2)} - x_e^{(1)} \quad (17)$$

E, tem-se que

$$\bar{u}(x) = \sum_{i=1}^{n+1} u_i N_i(x) \quad (18)$$

Assim, localmente,

$$N_1(e) = \frac{x_e^{(2)} - x}{x_e^{(2)} - x_e^{(1)}} = \frac{x_e^{(2)} - x_e^{(1)} - x_e}{x_e^{(2)} - x_e^{(1)}}$$

$$N_1(e) = \frac{h_e - x_e}{h_e} \quad \begin{cases} N_1(x_e) = 1 \\ N_1(h_e) = 0 \end{cases}$$

$$N_2(e) = \frac{x - x_e^{(1)}}{x_e^{(2)} - x_e^{(1)}}$$

$$N_1(e) = \frac{x_e}{h_e} \quad \begin{cases} N_2(x_e) = 0 \\ N_2(h_e) = 1 \end{cases}$$

Usando o Método de Galerkin na SRP, temos:

$$\int_0^1 N_i R dx = 0 \quad (19)$$

Ou,

$$\int_0^1 N_i \left(\frac{d^2 \bar{u}}{dx^2} - \bar{u} \right) dx = \\ \left[N_i \frac{d\bar{u}}{dx} \right]_0^1 - \int_0^1 \left(\frac{dN_i}{dx} \frac{d\bar{u}}{dx} + N_i \bar{u} \right) dx = 0$$

Logo, lembrando que

$$\bar{u}(x) = \sum_{i=1}^{n+1} u_i N_i(x)$$

Obtém-se

$$\sum_{j=1}^{n+1} \int_0^1 \left[\left(\frac{dN_i}{dx} \frac{dN_j}{dx} \right) u_j + (N_i N_j) u_j \right] dx - \left[N_i \frac{d\bar{u}}{dx} \right]_0^1 = 0 \\ \vdots \\ \sum_{j=1}^{n+1} \int_0^1 \left(\frac{dN_i}{dx} \frac{dN_j}{dx} + N_i N_j \right) u_j dx - \left[N_i \frac{d\bar{u}}{dx} \right]_0^1 = 0$$

A partir da equação acima, define-se a Matriz de Rigidez K .

4.0.1 Matriz de Rigidez e Matriz de Força (ou Carregamento) Nodal

$$K_{ij} \equiv \int_0^1 \left(\frac{dN_i}{dx} \frac{dN_j}{dx} + N_i N_j \right) dx \quad (20)$$

Onde $(i, j) \geq 1$;

$$f_i \equiv \left[N_i \frac{d\bar{u}}{dx} \right]_0^1 \quad (21)$$

Onde $i \leq n + 1$

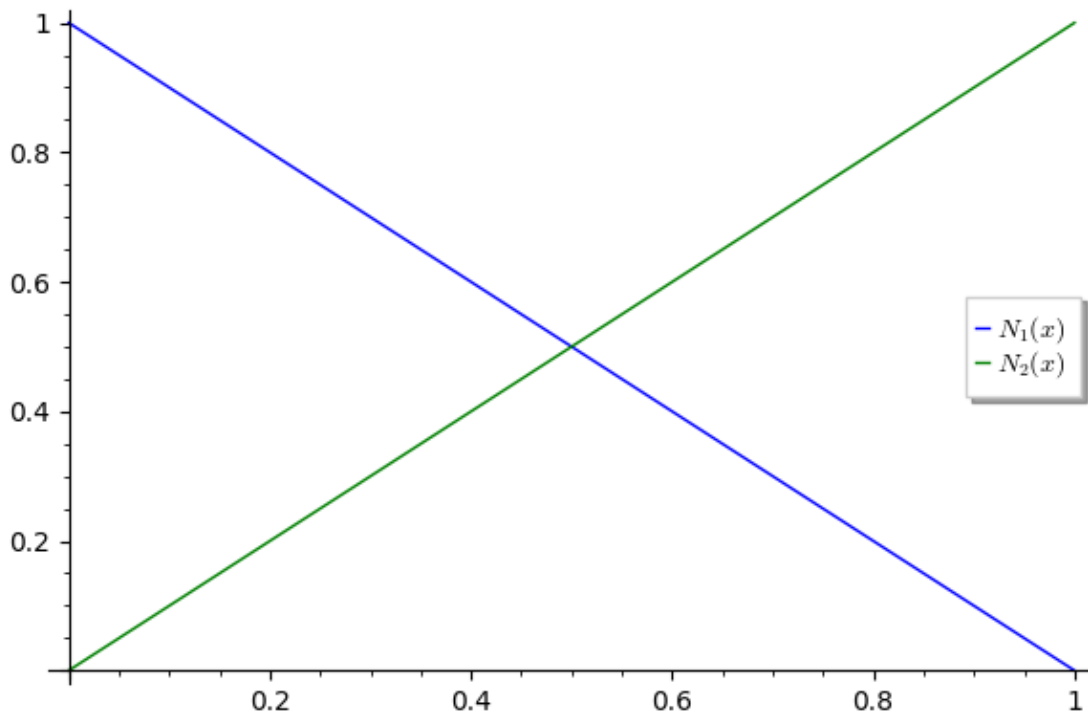
4.1 MEF com 1 Elemento

Aplicando o MEF ao exemplo utilizado até aqui:

$$\frac{d^2 u}{dx^2} - u = 0$$

Subdividindo o domínio em um segmento (ou seja, sem divisão interna), temos:

```
[14]: fig = plot(1-x,(0,1),legend_label='$N_1(x)$') +_
      ↪plot(x,(0,1),color='green',legend_label='$N_2(x)$')
      fig.show()
```



Onde,

- $N_1(x) = \frac{1-x}{1} = 1 - x$
- $N_2(x) = \frac{x}{1} = x$

Logo,

$$K_{ij} = \int_0^1 \frac{dN_i}{dx} \frac{dN_j}{dx} + N_i N_j dx$$

Se $i = j$,

$$\begin{aligned} K_{11} = K_{22} &= \int_0^1 \left[(-1) \times (-1) + (1-x)^2 \right] dx = \\ &= \int_0^1 (1 + 1 - 2x + x^2) dx = \int_0^1 (x^2 - 2x + 2) dx = \\ &= \left[\frac{x^3}{3} - \frac{2x^2}{2} + 2x \right]_0^1 = \frac{1}{3} - 1 + 2 = \frac{4}{3} \end{aligned}$$

Ou, alternativamente,

$$K_{11} = K_{22} = \int_0^1 \left[(1) \times (1) + (x)^2 \right] dx = \int_0^1 (1+x)^2 dx = \left[x + \frac{x^3}{3} \right]_0^1 = 1 + \frac{1}{3} = \frac{4}{3}$$

Para $i \neq j$, temos:

$$K_{12} = K_{21} = \int_0^1 [(-1) \times (1) + (1-x)x] dx = \int_0^1 (-1+x-x^2) dx = \left[-x + \frac{x^2}{2} - \frac{x^3}{3} \right]_0^1 = -\frac{1}{1} + \frac{1}{2} - \frac{1}{3} = \frac{-6+3-2}{6} = -\frac{5}{6}$$

Portanto, temos:

$$\mathbf{K} = \begin{bmatrix} \frac{4}{3} & -\frac{5}{6} \\ -\frac{5}{6} & \frac{4}{3} \end{bmatrix}$$

Tem-se, também, que $\mathbf{K}\bar{u} = \vec{f}$, Ou,

$$\begin{bmatrix} \frac{4}{3} & -\frac{5}{6} \\ -\frac{5}{6} & \frac{4}{3} \end{bmatrix} \begin{bmatrix} u_1 \\ u_2 \end{bmatrix} = \begin{bmatrix} -\frac{d\bar{u}(0)}{dx} \\ -\frac{d\bar{u}(1)}{dx} \end{bmatrix}$$

Sabe-se, ainda, que:

$$\begin{bmatrix} u_1(0) = 0 \\ u_1(1) = 1 \end{bmatrix}$$

Assim,

$$\begin{bmatrix} \frac{4}{3} & -\frac{5}{6} \\ -\frac{5}{6} & \frac{4}{3} \end{bmatrix} \begin{bmatrix} 0 \\ 1 \end{bmatrix} = \begin{bmatrix} -\frac{d\bar{u}(0)}{dx} \\ -\frac{d\bar{u}(1)}{dx} \end{bmatrix}$$

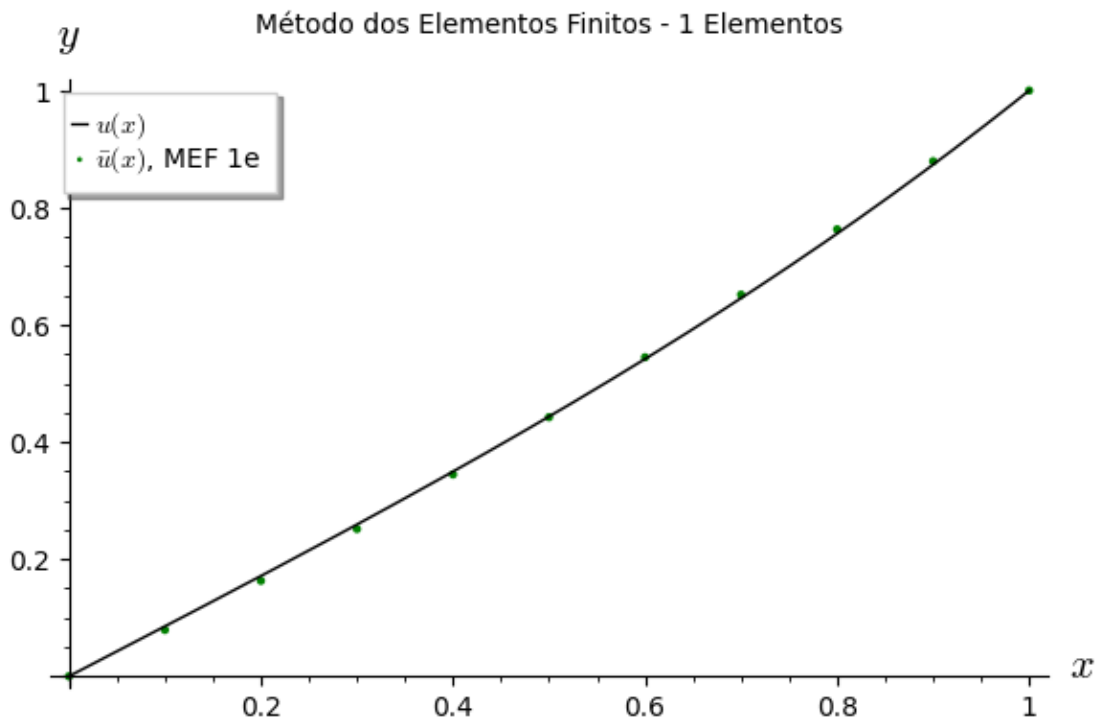
Resolvendo este sistema, obtém-se:

$$\begin{bmatrix} \frac{d\bar{u}(0)}{dx} \\ \frac{d\bar{u}(1)}{dx} \end{bmatrix} = \begin{bmatrix} \frac{5}{6} \\ -\frac{4}{3} \end{bmatrix}$$

```
[15]: def yFEM1E (x):
      return x
```

```
[16]: MEF1 = points(zip(xd,ysubdominio(xd)),legend_label='$\\bar{u}(x)$', MEF_
      ↪1e',color='green',axes_labels=['$x$', '$y$'],title='Método dos Elementos_
      ↪Finitos - 1 Elementos') # Plota a solução u(x) no intervalo (0 < x < 1)
      exata + MEF1
```

```
[16]:
```



4.2 MEF com 2 Elementos

DESENVOLVER...

4.3 MEF com 3 Elementos

Agora veremos o mesmo exemplo aplicando o MEF com 3 Elementos.

$$\bar{u}(x) = \sum_{i=1}^4 u_i N_i$$

Dividindo o domínio em 3 segmentos, temos 4 nós igualmente espaçados. São eles: $N_1 \rightarrow (x=0)$, $N_2 \rightarrow (x=\frac{1}{3})$, $N_3 \rightarrow (x=\frac{2}{3})$ e $N_4 \rightarrow (x=1)$.

Localmente (no elemento), temos:

$$\begin{cases} N_1^e &= \frac{h_e - x}{h_e} \\ N_2^e &= \frac{x}{h_e} \end{cases}$$

Onde $h_e = \frac{1}{3}$.

Portanto,

$$\begin{cases} N_1^e &= \frac{\frac{1}{3} - x}{\frac{1}{3}} &= 1 - 3x \\ N_2^e &= \frac{x}{\frac{1}{3}} &= 3x \end{cases}$$

Assim,

$$K_{ij} = \int_0^{\frac{1}{3}} \left[\left(\frac{dN_i}{dx} \frac{dN_j}{dx} \right) + N_i N_j \right] dx$$

$$f_i = \left[N_i \frac{d\bar{u}}{dx} \right] \therefore \vec{f} = \begin{bmatrix} -\frac{d\bar{u}(0)}{dx} \\ 0 \\ 0 \\ -\frac{d\bar{u}(1)}{dx} \end{bmatrix}$$

Ressaltando que só existe f_i em N_1 e N_4 .

Assim,

$$\mathbf{K} = \begin{bmatrix} \frac{28}{9} & -\frac{53}{18} \\ -\frac{53}{18} & \frac{28}{9} \end{bmatrix}$$

Considerar que o nó N_2 é influenciado pelos elementos N_1 e N_2 e o nó N_3 pelos elementos N_2 e N_3 .

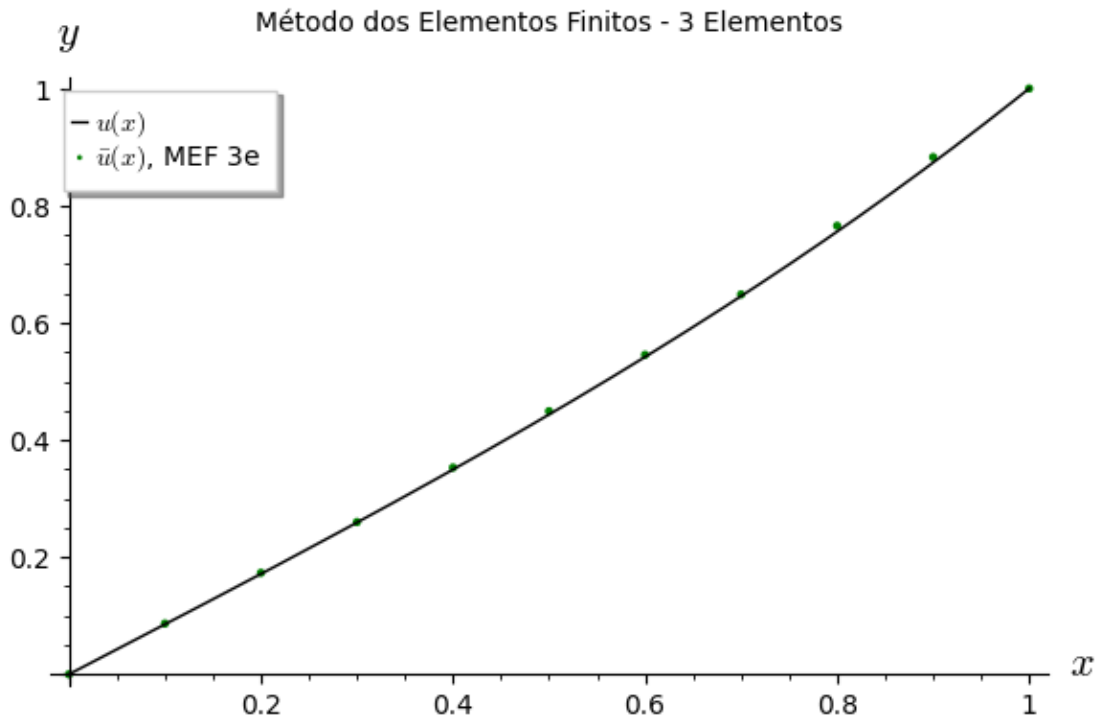
As condições de contorno de Dirichlet DEVEM ser atendidas, ou seja, $u_1 = 0$ e $u_4 = 1$. Logo, as incógnitas serão:

$$\frac{du(0)}{dx}, \quad u_2, \quad u_3, \quad \frac{du(1)}{dx}$$

```
[17]: xfemtres=[0.,0.333,0.667,1.]
      yfemtres=[0.,0.2885,0.6098,1.]
      ylin=interp1d(xfemtres,yfemtres,kind='linear')(xd)
```

```
[18]: MEF3 = points(zip(xd,ylin),legend_label='$\\bar{u}(x)$', MEF_
      ↪3e',color='green',axes_labels=['$x$', '$y$'],title='Método dos Elementos_
      ↪Finitos - 3 Elementos') # Plota a solução u(x) no intervalo (0 < x < 1)
      exata + MEF3
```

```
[18]:
```



4.4 MEF com n Elementos

DESENVOLVER

4.5 Implementação do MEF com n Elementos

```
[19]: def mefn(a, b, ua, ub, n):
    x = array(linspace(a,b,n+1)) # Domínio
    # f = array([linspace(0,0,n+1)]).transpose() # Vetor de força nodal (matriz
    ↳ coluna de zeros)
    K = zeros([(n+1),(n+1)]) # Matriz de Rigidez Global
    he = (b-a)/n # Subdomínio
    for i in range(n): # Montagem da Matriz de Rigidez Global
        K[i,i] += (1/he)+(he/3)
        K[i,i+1] += (-1/he)+(he/6)
        K[i+1,i] += (-1/he)+(he/6)
        K[i+1,i+1] += (1/he)+(he/3)
    # Rearranjo do Sistema
    # f -= ua*K[:,0] + ub*K[:,n] # Implementação alternativa com inicialização
    ↳ de f
    f = - ua*K[:,0] - ub*K[:,n]
    K[:,0] *= 0
    K[:,n] *= 0
```

```

K[0,0] = 1.
K[n,n] = -1.
# Solução do Sistema
u = solve(K,f) # Vetor de solução
u[0],u[n] = ua,ub # Substituição de  $du(a)/dx$  e  $du(b)/dx$  por  $u(a)$  e  $u(b)$ 
return x, u
out = mefn(0.,1.,0.,1.,100)
ymefn=interp1d(out[0],out[1],kind='linear')(xd)

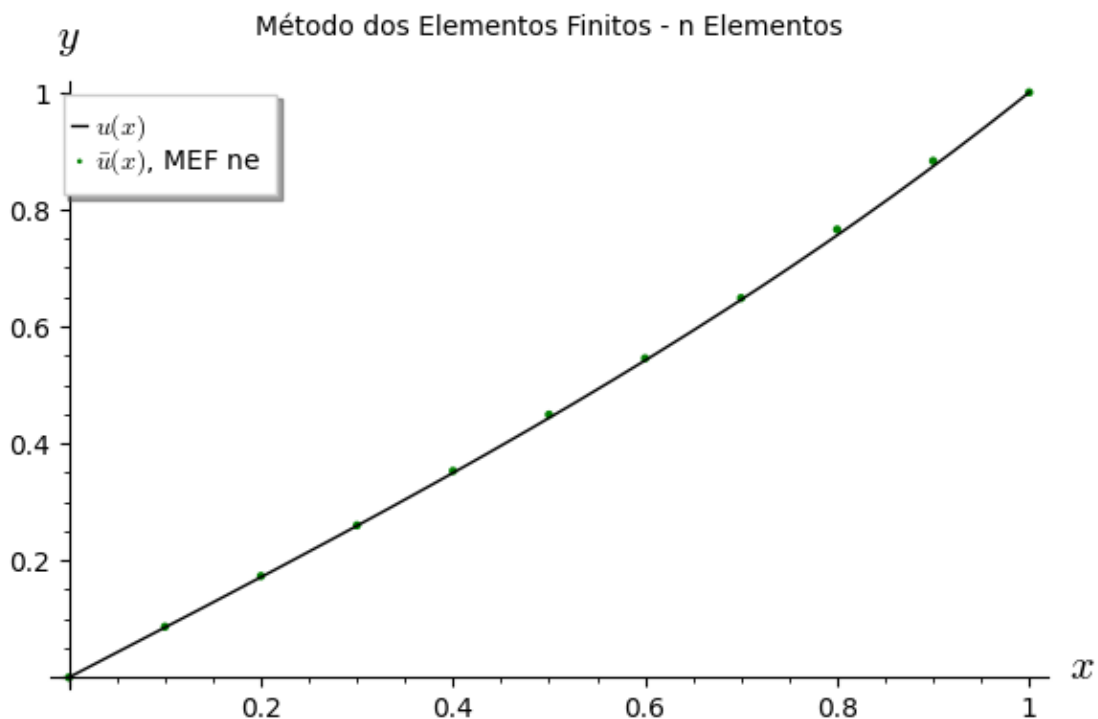
```

```

[20]: MEFn = points(zip(xd,ylin),legend_label='$\\bar{u}(x)$, MEF_
↪ne',color='green',axes_labels=['$x$', '$y$'],title='Método dos Elementos_
↪Finitos - n Elementos') # Plota a solução  $u(x)$  no intervalo  $(0 < x < 1)$ 
exata + MEFn

```

[20]:

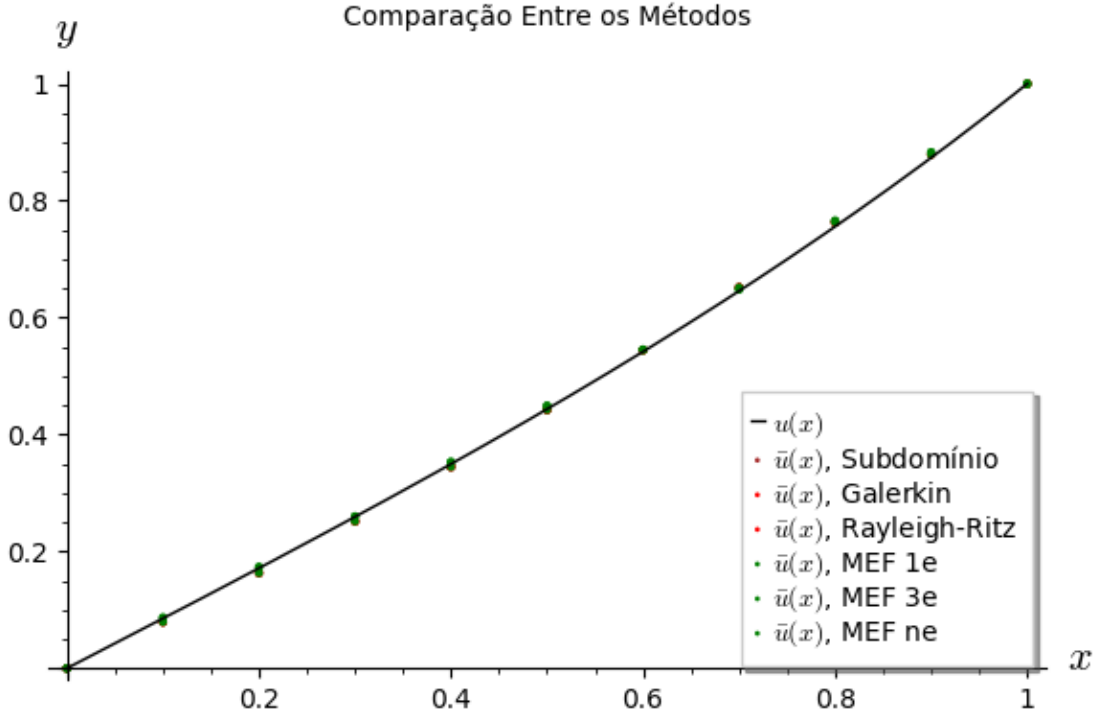


5 Comparação das Soluções

```

[21]: compara = subdominio + galerkin + RR + MEF1 + MEF3 + MEFn + exata
compara.show(title='Comparação Entre os Métodos', legend_loc="lower right")

```



6 PTV - Princípio dos Trabalhos Virtuais

Considere a barra de treliça sujeita a uma força de tração f , com área de seção transversal A , comprimento l e Módulo de Elasticidade E .

(INSERIR FIGURA)

A medida que a treliça está sendo carregada, ocorre um alongamento até a posição de equilíbrio.

A curva Tensão \times Deformação é mostrada a seguir:

(INSERIR FIGURA)

(INSERIR DETALHE)

No detalhe, temos:

$$\Delta U_{0m} = Area_{\square_{ABDE}} + Area_{curva-AB}$$

Assim,

$$\Delta U_{0m} = \underbrace{\sigma_m \delta \epsilon_m}_{\delta U_{0m}^{(1)}} + \underbrace{\frac{1}{2} \delta \sigma_m \delta \epsilon_m}_{\delta U_{0m}^{(2)}} + erro_{U_{0m}} \quad (22)$$

$$\Delta U_{0m} = \delta U_{0m}^{(1)} + \delta U_{0m}^{(2)} + erro \quad (23)$$

6.1 Incremento do Trabalho Interno (Energia de Deformação)

$$\Delta U_m = \int_0^{U_m} \Delta U_{0m} dU_m \quad (24)$$

$$\Delta U_m = \int_0^{U_m} \sigma_m \delta \epsilon_m dU_m + \int_0^{U_m} \frac{1}{2} \delta \sigma_m \delta \epsilon_m dU_m + \int_0^{U_m} erro dU_m$$

$$\delta U_m^{(1)} = \int_0^{U_m} \sigma_m \delta \epsilon_m dU_m$$

$$\delta U_m^{(2)} = \int_0^{U_m} \frac{1}{2} \delta \sigma_m \delta \epsilon_m dU_m$$

Para o caso de n_e barras,

$$\delta U^{(1)} = \sum_{n=i}^{n_e} \int_0^{U_m^{(i)}} \sigma_m^{(i)} \delta \epsilon_m^{(i)} dU_m^{(i)} \quad (25)$$

$$\delta U^{(2)} = \sum_{n=i}^{n_e} \int_0^{U_m^{(i)}} \frac{1}{2} \delta \sigma_m^{(i)} \delta \epsilon_m^{(i)} dU_m^{(i)} \quad (26)$$

Sendo,

- σ_m^i = Tensão na barra i ;
- $\delta \sigma_m^i$ = incremento de Tensão na barra i ;
- $\delta \epsilon_m^i$ = incremento de Deformação na barra i .

A força externa atuando na treliça relaciona-se com o deslocamento de acordo com o gráfico:

(INSERIR GRÁFICO)

(INSERIR DETALHE)

6.2 Incremento do Trabalho Externo

$$\Delta W_i = \underbrace{f_i \delta d_i}_{\delta W_i^{(1)}} + \underbrace{\frac{1}{2} \delta f_i \delta d_i}_{\delta W_i^{(2)}} + erro_{W_i} \quad (27)$$

Considerando-se n_e elementos de treliça,

$$dW^{(1)} = \sum_{i=1}^{n_e} f_i \delta d_i$$

$$dW^{(2)} = \sum_{i=1}^{n_e} \frac{1}{2} \delta f_i \delta d_i$$

Ou, na forma vetorial,

$$dW^{(1)} = \sum_{i=1}^{n_e} \vec{f} \cdot \delta \vec{d}$$

$$dW^{(2)} = \sum_{i=1}^{n_e} \frac{1}{2} \delta \vec{f} \cdot \delta \vec{d}$$

Sendo:

- $\vec{f} \rightarrow$ vetor de forças nas barras da treliça;
- $\delta \vec{f} \rightarrow$ incremento de \vec{f} ; e
- $\delta \vec{d} \rightarrow$ incremento dos deslocamentos das barras da treliça.

7 PDV - Princípio dos Deslocamentos Virtuais

Nesse caso, equivale ao PTV.

Obs: Existe também o Princípio das Forças Virtuais, mas não será tratado neste contexto.

PDV: Em um sistema Estrutural em equilíbrio, o incremento de 1ª ordem da energia de deformação é igual ao incremento de 1ª ordem do trabalho externo.

Logo, $\delta U' = \delta W'$, ou

$$\sum_{n=1}^{n_e} \int_0^{U_m^{(i)}} \sigma_m^{(i)} \delta \epsilon_m^{(i)} dU_m^{(i)} = \vec{f} \cdot \delta \vec{d} \quad (28)$$

$\sigma_m^{(i)}$ e \vec{f} são grandezas reais e em equilíbrio, enquanto $\delta \epsilon_m^{(i)}$ e $\delta \vec{d}$ são grandezas virtuais.

8 Energia Potencial Total do Sistema

$$\Pi = U + W \therefore \Pi(d) = U(d) + W(d) \quad (29)$$

U é a energia (interna) que volta a estrutura para a configuração inicial se houver o descarregamento total.

W é o trabalho que será realizado caso a estrutura voltasse para a configuração inicial, mantido o carregamento.

Π é a energia total necessária para a estrutura voltar à condição inicial, mantido o carregamento. Ou seja, para voltar a condição inicial, a estrutura precisa ``vencer'' o carregamento e a deformação sofridos.

Tem-se que

$$W(d) = -\vec{f} \cdot \vec{d} \quad (30)$$

9 Princípio da Energia Potencial Total Mínima

Um sistema estrutural carregado sofrerá deformação de modo a gastar o mínimo de Energia Potencial Mínima.

Logo, no equilíbrio,

$$\frac{\partial \Pi(d)}{\partial d} = 0 \quad (31)$$

$\Pi(d)$ é denominado Energia Potencial Total do Sistema, ou FUNCIONAL DO SISTEMA.

Logo, a equação $\Pi(d) = U(d) + W(d)$ equivale às Equações de Equilíbrio do Sistema.

9.1 Exemplo

Considere a equação

$$\frac{d^2 u}{dx^2} - u = 0; \quad 0 \leq x \leq 1$$

Prove que o Funcional da EDO anterior vale:

$$\Pi(u) = \int_0^1 \left[\frac{1}{2} \left(\frac{du}{dx} \right)^2 + \frac{1}{2} u^2 \right] dx \quad (32)$$

9.1.1 Solução

Tem-se que

$$\delta \Pi(u) = \int_0^1 \left[\frac{du}{dx} \delta \left(\frac{du}{dx} \right) + u \delta u \right] dx$$

Obs:

$$v = \frac{du}{dx} \rightarrow \frac{1}{2} v^2 = \frac{1}{2} \left(\frac{du}{dx} \right)^2$$

$$d \left(\frac{1}{2} v^2 \right) = \frac{1}{2} \times 2 \times v \times dv = v dv = \frac{du}{dx} d \left(\frac{du}{dx} \right)$$

$$d \left(\frac{1}{2} u^2 \right) = \frac{1}{2} \times 2 \times u \times du = u du$$

$d\Pi$ pode ser reescrito como

$$\delta \Pi = \int_0^1 \left[\frac{du}{dx} d \left(\frac{du}{dx} \right) + u du \right] dx$$

Integrando por partes,

$$\int_0^1 \left(\frac{du}{dx} d \left(\frac{du}{dx} \right) + u du \right) dx = \left[\frac{du}{dx} du \right]_0^1 - \int_0^1 \left[\frac{d}{dx} \frac{du}{dx} du - u du \right] dx$$

As condições de contorno de Dirichlet devem ser atendidas:

$$du = 0 \quad \text{se} \quad \begin{cases} x = 0 \\ x = 1 \end{cases}$$

Logo,

$$\left[\frac{du}{dx} du \right] = 0$$

$$d\Pi = - \int_0^1 \left(\frac{d^2 u}{dx^2} - u \right) du dx$$

Condição de ``Estacionariedade'' $\delta\Pi = 0$; logo,

$$\int_0^1 \left(\frac{d^2 u}{dx^2} - u \right) du dx = 0$$

Logo,

$$\frac{d^2 u}{dx^2} - u = 0$$